

ارزیابی فعالیت آنتیاکسیدانی و پارامترهای سینتیک اکسایشی اسید سیرینجیک و اسید گالیک در روغن آفتابگردان

رضا فرهمندفر^{۱*} و مریم اشنی عشری^۲

۱- استادیار، گروه علوم و صنایع غذایی، دانشگاه علوم کشاورزی و منابع طبیعی ساری، ایران

۲- دانشجوی دکتری، گروه علوم و صنایع غذایی، دانشگاه علوم کشاورزی و منابع طبیعی ساری، ایران

(تاریخ دریافت: ۹۶/۰۹/۰۸ تاریخ پذیرش: ۹۷/۰۲/۰۱)

چکیده

عملکرد آنتیاکسیدان‌ها به عوامل مختلفی از جمله ساختمان شیمیایی، برهم‌کنش با محیط اکسایشی، میزان آبگریزی و شرایط حرارتی روغن بستگی دارد و به سبب پیچیدگی‌های رفتاری، نتایج آنها در سیستم‌های روغنی غیر قابل پیش‌بینی است. لذا، قدرت آنتیاکسیدانی اسید گالیک و اسید سیرینجیک با آزمون DPPH، پایداری اکسایشی آن با دستگاه رنسمیت و پروفایل اسید چرب روغن آفتابگردان با روش GC-MS مورد ارزیابی قرار گرفت. در آزمون آون، روغن آفتابگردان بدون آنتیاکسیدان در حضور چهار سطح غلاظتی اسید سیرینجیک و اسید گالیک (۲۰۰، ۴۰۰، ۸۰۰ و ۱۶۰۰ پی/ام) در دمای ۱۱۰ و ۱۲۰ درجه سانتی‌گراد پایش شد. نمونه‌گیری در زمان‌های متوالی انجام شد و دوره القاء تولید هیدروپراکسیدها و دی‌ان و تری‌ان مزدوج تعیین گشت. نتایج نشان داد، ساختار اسید چرب روغن آفتابگردان عمدهاً حاوی اسیدهای چرب غیراشبع (بخصوص اسید لینولئیک، C18:2 و اسیدهای چرب اشبع (بخصوص اسید پالmitik، C16:0) بود. نتایج حاصل از پارامترهای اکسایشی نشان داد، هر دو آنتیاکسیدان نسبت به نمونه شاهد سبب افزایش پایداری روغن آفتابگردان شدند و تاثیر گذاری آنتیاکسیدانی (F) و فعالیت آنتیاکسیدانی (A) اسید گالیک نسبت به اسید سیرینجیک و آنتیاکسیدان ستزی BHT به طور معنی داری در هر دو دما بیشتر بود. همچنین با افزایش دما، قدرت آنتیاکسیدانی اسید گالیک در اغلب تیمارها به طور معنی داری کاهش کمتری نسبت به اسید سیرینجیک داشت که ناشی از خاصیت حملی بالاتر اسید گالیک است. به طورکلی، اسید گالیک و اسید سیرینجیک دارای توان بالایی در ارتقاء پایداری اکسایشی روغن‌های خوراکی می‌باشند و می‌توانند به عنوان جایگزین آنتیاکسیدان‌های ستزی استفاده شوند.

کلید واژگان: اسید گالیک، اسید سیرینجیک، پارامترهای سینتیک اکسایشی، روغن آفتابگردان، فعالیت آنتیاکسیدانی

یا موთاژن‌های عامل بیماری‌های قلبی یا سرطان را کاهش می‌دهند [۴ و ۵]. صدّها ترکیب سنتزی یا طبیعی وجود دارند که دارای خواص آنتی اکسیدانی هستند [۶]. آنتی اکسیدان‌های مصنوعی از جمله هیدروکسی آنیزول بوتیله^۱ (BHA)، هیدروکسی تولوئن بوتیله^۲ (BHT) و تری بوتیل هیدروکینون^۳ (TBHQ) به سبب کارایی بیشتر و نیز قیمت پایین‌تر، همواره بیش از انواع طبیعی مد نظر بوده‌اند. اما گزارش‌های اخیر حاکی از سرطان‌زاوی این ترکیبات سنتزی بوده است [۷]. بنابراین، آنتی اکسیدان‌های سنتزی بتدریج از فهرست افزودنی‌های ایمن حذف شده و تمایل به مصرف انواع طبیعی رو به افزایش گذاشده است [۸]. در حقیقت، پایداری اکسایشی را می‌توان مقاومت روغن‌ها و چربی‌ها تحت شرایط تعریف شده و فساد ناشی از آن که باعث تولید طعم و بوی نامطلوب می‌شود، تعریف کرد. به عبارت دیگر، پایداری اکسایشی عبارت از مدت زمان لازم برای رسیدن به نقطه‌ای است که در آن یکی از کمیت‌های اکسایشی پس از طی نمودن روند افزایشی خود به طور ناگهانی افزایش می‌یابد. مدت زمان لازم برای رسیدن به این نقطه به عنوان دوره القاء خوانده می‌شود. آزمون‌های تسریع شده در بررسی پایداری اکسایشی، سرعت فرآیندهای اکسایشی طبیعی را افزایش می‌دهند و ابزار کنترل کیفی مهمی برای تعیین پایداری محصول می‌باشد. از این آزمون‌ها برای ارزیابی اثر تغییرات فرمولاسیون در غذاها، پارامترهای فرآیند و دیگر عواملی که در اکسایش لیپیدی موثر هستند، استفاده می‌شود. این روش‌ها همچنین در بررسی و ارزیابی آثار آنتی اکسیدان‌ها در نگهداری مواد غذایی و جلوگیری از اکسایش لیپیدی سودمند هستند [۹].

اسیدهای فنلی به عنوان آنتی اکسیدان‌های طبیعی و موثر می‌تواند از اکسایش لیپیدی ممانعت کند و منجر به افزایش ماندگاری مواد غذایی شوند. آنها را از دیدگاه ساختمانی (تعداد و موقعیت گروه‌های هیدروکسیل در حلقه آروماتیک) به دو گروه اسید هیدروکسی سیتامیک و اسید هیدروکسی بنزوئیک تقسیم می‌کنند

1. Butylatedhydroxy anisole

2. Butylatedhydroxytoluene

3. Tertiary butylhydroquinone

۱- مقدمه

چربی‌ها و روغن‌ها از جایگاه ویژه‌ای در رژیم غذایی انسان برخوردارند و سهم عملهای از نیاز بدن به انرژی را تأمین می‌کنند [۱]. اکسایش چربی‌ها یکی از بزرگترین عوامل کاهش کیفیت چربی‌ها و مواد غذایی دارای چربی است. فساد اکسایشی همچنین زیان‌های اقتصادی زیادی به صنعت غذا وارد می‌سازد؛ زیرا بسیاری از خصوصیات کیفی مواد غذایی مانند عطر و طعم، رنگ، بافت و خصوصیات تغذیه‌ای آن را تخریب می‌نماید. روغن آفتابگردان یکی از روغن‌های گیاهی با ارزش تغذیه‌ای بالا است که به طور گسترده در صنعت غذا استفاده می‌شود، اما غیراشایعیت بالای اسیدهای چرب آن، این روغن را مستعد اکسایش می‌کند. لذا تولیدکنندگان مواد غذایی از دیرباز شیوه‌های گوناگونی برای افزایش ماندگاری و پایداری اکسایشی مواد غذایی به کار می‌برهند. افزودن آنتی اکسیدان متداول‌ترین شیوه در به تاخیر انداختن فساد اکسایشی و جلوگیری از افت کیفیت روغن‌ها در طول فرآیند تولید و نیز زمان ابزارداری مواد غذایی است. آنتی اکسیدان‌ها در مقداری کم سبب جلوگیری از اکسایش لیپیدی یا به تأخیر افتدان آن می‌شوند [۲]. آنتی اکسیدان‌های به کار رفته در فرآیند مواد غذایی باید ارزان، غیررسمی، موثر در غلظت کم و در فرآیندهای صنعت غذا پایدار باشند. انتخاب نوع آنتی اکسیدانی که به کار می‌رود به نوع و ماهیت محصول و قوانین موجود بستگی دارد. آنتی اکسیدان‌ها نه تنها زمان نگهداری محصولات را می‌افزایند بلکه ضایعات مواد خام و افت تغذیه‌ای را کاهش و محدوده کاربرد چربی‌ها در محصولات خاص را افزایش می‌دهند [۳]. آنتی اکسیدان‌ها همچنین از ایجاد رادیکال‌های آزاد که در بدن به صورت طبیعی از واکنش‌های اکسایشی به وجود می‌آیند و منجر به اکسایش سلول‌های چربی و آسیب DNA و به تبع آن منجر به بروز انواع سرطان‌ها می‌شوند، جلوگیری می‌کنند. آنتی اکسیدان‌های رژیم غذایی با مهار رادیکال‌های آزاد از وارد آمدن آسیب به سلول‌ها و DNA ممانعت می‌کنند و احتمالاً اسیدهای چرب اکسیده

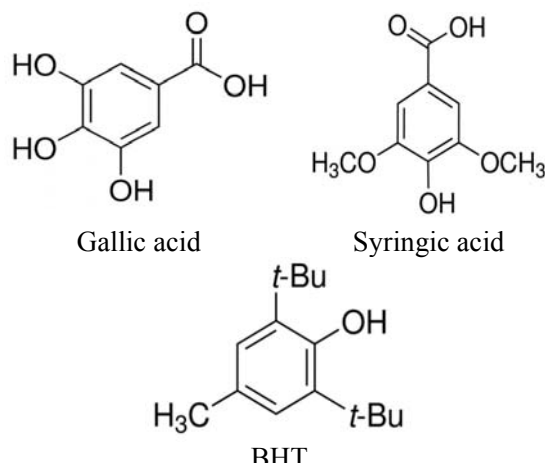


Fig 1 Molecular structure of gallic acid, syringic acid and BHT.

از این رو انتظار می‌رود اسید سیرینجیک و اسید گالیک متأثر از دما و غلظت، در روغن آفتابگردان تحت شرایط تسريع شده، عملکرد آنتی‌اکسیدانی متفاوتی از خود بروز دهند. لذا، تحقیق حاضر با هدف بررسی اثر دما بر روند اکسایشی روغن آفتابگردان در حضور اسید سیرینجیک و اسید گالیک، تعیین بهترین غلظت آنتی‌اکسیدان در روغن آفتابگردان و مقایسه رفتار آنتی‌اکسیدانی آنها انجام می‌شود.

۲- مواد و روش‌ها

۱-۲ مواد اولیہ

روغن آفتابگردان از شرکت پرتو دانه بهشهر و اسید سیرینجیک و اسید گالیک از شرکت سیگما خریداری شد (شکل ۱). حلای های کلروفرم، متانول، هگزان و تولوئن، محلول DPPH از شرکت های مک و سیگما تهیه شد.

۲-۲- روش‌ها

۲-۱- تخلیص روغن آفتاگردان

تخلیص روغن آفتاتگردان با اکسید الومینیوم مطابق با روش Belhaj و همکاران [۱۸]. در این روش از ستون کروماتوگرافی شیشه‌ای با طول ۳۰ سانتی‌متر و قطر داخلی ۵ سانتی‌متر متصل به ارلن بوختر استفاده گردید. ستون از

[۱۰]. گرچه مکانیسم‌های متعددی برای توصیف رفتار آنتی اکسیدانی وجود دارد، شیوه غالب در مورد اسیدهای فنلی عبارت از مهار رادیکال‌ها با در اختیار گذاری اتم هیدروژن است [۱۱]. اهداء الکترون و فرونشانی اکسیژن از جمله دیگر طرق مهار کنندگی آنها به شمار می‌آید. اسیدهای فنلی دارای گروه متوكسی (OCH_3) از متداول‌ترین آنتی اکسیدان‌های طبیعی هستند که در سیناپیک^۳، فرولیک^۴، سیرینجیک^۵ و وانیلیک^۶ از این دسته‌اند. اسید سیرینجیک (۳-و-۵-دی متوكسی-۴-هیدروکسی بنزوئیک اسید) با دارا بودن دو گروه متوكسی از قدرت مهار کنندگی رادیکال و فعالیت آنتی اکسیدانی قابل توجهی برخوردار است (شکل ۱) و قابلیت استفاده در پایدارسازی روغن‌ها، چربی‌ها و امولسیون‌های غذایی را دارا می‌باشد. تاکنون محققان زیادی تاثیر آن را در روغن‌های خوراکی، امولسیون‌های غذایی، داروها و محصولات آرایشی و بهداشتی مورد بررسی قرار داده‌اند [۱۲ و ۱۳]. اثر درمانی اسید سیرینجیک در ممانعت از تکثیر سلول‌های سرطان پوست، روده بزرگ و سینه به اثبات رسیده است [۱۴]. همچنین، اسید گالیک^۷ (اسید ۴،۵-تری هیدروکسی بنزوئیک)^۸ و مشتقات آن به عنوان آنتی اکسیدان‌های طبیعی به طور گسترده‌ای در گیاهان از جمله چای یافت می‌شوند (شکل ۱). متوسط دریافت روزانه اسید گالیک در آمریکا یک گرم گزارش شده است [۱۵]. برخی استرهای اسید گالیک با خصوصیات آنتی اکسیدانی و بیولوژیکی در طیف وسیعی از محصولات غذایی و دارویی مورد استفاده قرار گرفته‌اند. مطالعات سمشناسی نشان داده است که اسید گالیک و گالات به ترتیب در سطوح کمتر از ۱۲۰ و ۱۰۰۰ میلی گرم/کیلوگرم در روز فاقد هر گونه اثر نامطلوبی بر موش‌های آزمایشگاهی بوده‌اند [۱۶] و همچنین مشتقات آسیل اسید گالیک در پیشگیری از پراکسایش چربی‌ها در غشاء سلول موثر واقع شده‌اند [۱۷].

4. Sinapic acid
 5. Ferulic acid
 6. Syringic acid
 7. Vanillic acid
 8. Gallic acid
 9. 3,4,5-Trihydroxybenzoic acid

نانومتر در برابر شاهد قرائت گردید و درصد مهارکنندگی رادیکال آزاد محاسبه شد [۱۹].

$$A\% = \frac{A_C - A_S}{A_C} \times 100 \quad \text{معادله (۱)}$$

که $A\%$ درصد مهارکنندگی رادیکال آزاد DPPH، A_c جذب شاهد و A_s جذب نمونه است.

۴-۲-۲- آزمون پایداری اکسایشی با دستگاه رنسیمت

برای تعیین پایداری اکسایشی از دستگاه رنسیمت مدل ۷۴۳ (متروم، سوئیس) استفاده شد. برای این منظور، سه گرم نمونه روغن در دمای ۱۲۰ درجه سانتی گراد مطابق با روش Farhoosh و همکاران [۲۰۷] مورد آزمایش قرار گرفت. سرعت جريان هوا ۱۵ لیتر بر ساعت بود.

۴-۲-۳- تعیین دوره القاء تولید هیدروپراکسیدها با آزمون پراکسید

۰/۱۰ تا ۰/۲ گرم نمونه روغن، بسته به میزان پراکسایش آن، در لوله‌های آزمایش ۱۵ میلی لیتری وزن شد و با ۹/۸ میلی لیتر حلال کلروفرم: متانول (به نسبت ۳:۷) مخلوط و به مدت ۲ تا ۴ ثانیه همزده شد. سپس به ترتیب ۵۰ میکرولیتر محلول تیوسیونات آمونیوم (۵۰ میلی لیتر، ۳۰ درصد وزنی-حجمی) و محلول آهن II ۰/۴ گرم باریم کلرید دوآبه در ۵۰ میلی لیتر آب + ۰/۵ گرم سولفات آهن ۷ آبه در ۵۰ میلی لیتر آب + ۲ میلی لیتر اسید کلریدریک ۱۰ نرمال) اضافه و بعد از اضافه کردن هر کدام به مدت ۲ تا ۴ ثانیه محلول همزده شد. پس از ۵ دقیقه گرمخانه گذاری در دمای اتاق، جذب نمونه در طول موج ۵۰۰ نانومتر در برابر شاهد تعیین شد. تمامی مراحل این روش زیر نور ملامی و به مدت ۱۰ دقیقه صورت گرفت. عدد پراکسید از معادله ۲ محاسبه شد:

$$PV = \frac{(As - Ab) \times m}{55/84 \times W \times 2} \quad \text{معادله (۲)}$$

که A_s جذب نمونه و A_b جذب شاهد در طول موج ۵۰۰ نانومتر است. m شبیه به دست آمده از منحنی کالیبراسیون ۴۰/۸۶ با ضریب تبیین ۰/۹۹ و W وزن نمونه روغن است. [۲۱]

سیلیکاژل و اکسید آلمونیوم با نسبت ۸۰/۷۰ پر شد، به طوری که ابتدا ۶۰ گرم آلومینا (نوع ۶۰ فعال خنثی) که قبل از دمای ۲۴۰ درجه سانتی گراد به مدت سه ساعت فعال شده را به طور کاملابدا یکنواخت در داخل ستون ریخته و سپس ۸۰ گرم سیلیکاژل (فعال شده در دمای ۱۱۰ درجه سانتی گراد به مدت سه ساعت) در نهایت قدری کربن فعال بر بالای ستون ریخته و با چندین ضربه ستون فشرده تر و یکنواخت تر گردید. در هر نوبت تخلیص، ۱۲۰ گرم روغن در ستون قرار داده شد. اطراف ستون و ارلن بوخنر با ورقه آلمونیوم پوشانده شد تا از اکسایش روغن در طول عملیات جلوگیری به عمل آید. این روش نیازی به استفاده از حلal برای عبور روغن از ستون نداشت و تنها به کمک نیروی خلاه بویزه در مراحل انتهایی تخلیص امکان پذیر گردید.

۴-۲-۴- تعیین ساختار اسید چرب روغن آفتتابگردان

ترکیب اسید چرب نمونه روغن به وسیله کروماتوگرافی گاز- مایع تعیین و بر اساس درصد نسبی سطوح گزارش شد. استرهای متیل اسیدهای چرب از اختلاط ۰/۱ میلی لیتر روغن تخلیص شده آفتتابگردان با ۱ میلی لیتر هگران و ۰/۵ میلی متوکسید سدیم تهیه شد. مخلوط حاصل به مدت ۱۰ تا ۱۵ ثانیه همزده شد، سپس لایه شفاف بالای لوله برداشته به کروماتوگراف گاز- مایع تزریق شد. کروماتوگراف مورد استفاده مجهز به ستون BPX-70 با طول ۶۰ متر، قطر داخلی ۰/۳۲ میلی متر و ضخامت ۰/۲۵ میکرومتر بود. گاز نیتروژن به عنوان گاز حامل استفاده گردید. آنالیزها با دمای اولیه ۱۲۰ درجه سانتی گراد آغاز شد و با افزایش دما در هر دقیقه (۳ درجه سانتی گراد) تا دمای نهایی ۲۴۰ درجه سانتی گراد انجام پذیرفت.

۴-۲-۵- ارزیابی خصوصیات آنتی اکسیدانی اسید گالیک و اسید سیرینجیک با آزمون DPPH

محلول ۰/۰۰۶ درصد رادیکال آزاد DPPH در متانول تهیه شد. سپس به لوله‌های آزمایش حامل یک میلی لیتر محلول متانولی نمونه با غلظت‌های مختلف (۲۰۰، ۴۰۰، ۸۰۰ و ۱۶۰۰ پی پی ام) و BHT (۲۰۰ پی پی ام)، یک میلی لیتر از محلول فوق اضافه شد. لوله‌های آزمایش بعد از ورتكس شدن به مدت نیم ساعت در جای تاریک نگهداری و سپس جذب آنها در طول موج ۵۱۷

که IP_{inh} دوره القاء در حضور آنتیاکسیدان و IP_0 دوره القاء نمونه شاهد می‌باشد.

نسبت سرعت اکسایش (ORR): قدرت آنتیاکسیدان در شرکت در سایر واکنش‌ها است که در نهایت بر سرعت اکسایش تاثیر می‌گذارد و از رابطه زیر محاسبه می‌گردد:

$$ORR = W_{inh} / W_0 \quad (4)$$

در این رابطه W_{inh} سرعت اکسایش در حضور آنتیاکسیدان و W_0 سرعت اکسایش نمونه شاهد است. در حقیقت ORR عکس قدرت آنتیاکسیدان را نشان می‌دهد.

کارایی آنتیاکسیدان (A): تاثیر آنتیاکسیدان را در پایان دادن به واکنش اکسایش نشان می‌دهد و از رابطه زیر محاسبه می‌گردد:

$$A = F / ORR \quad (5)$$

به منظور محاسبه دوره القاء اکسایش لیپیدی بر حسب عدد پراکسید، نمودار تغییرات شاخص‌های مزبور در مقابل زمان ترسیم گردید. سپس، معادلات خطی مرتبط با بخش‌های آغازین و انتشار اکسایش لیپیدی برآش داده شد و آنگاه دوره‌های القاء از تلاقی دادن معادلات خطی یاد شده محاسبه گردید (شکل ۲).

تاثیر آنتیاکسیدان بر روغن آفتابگردان را می‌توان با کمک پارامترهای سنتیکی بررسی نمود [۲]:

فاکتور پایداری (F) یا تاثیرگذاری آنتیاکسیدان متأثر از دوره القاء آنتیاکسیدان است و توانایی آنتیاکسیدان را در متوقف کردن زنجیره رادیکالی اکسایش نشان می‌دهد و از رابطه زیر بدست می‌آید:

$$F = IP_{inh} / IP_0 \quad (3)$$

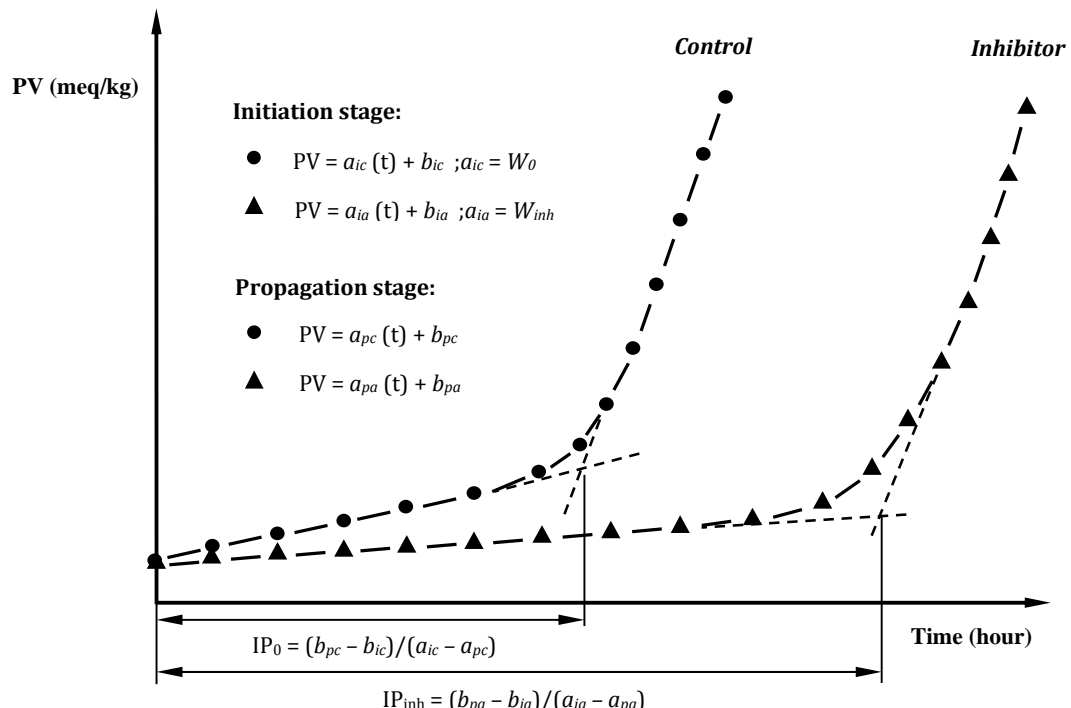


Fig 2 A schematic kinetic curve of peroxide accumulation during oxidation of lipid systems, and the corresponding kinetic values.

دی‌ان‌مزدوچ) و ۲۶۸ نانومتر (برای تری‌ان‌مزدوچ) خوانده شد. میزان جذب نمونه شاهد نیز با خواندن میزان جذب هگزان به

۶-۲-۲- تعیین عدد دی‌ان و تری‌ان مزدوچ
نمونه روغن به نسبت ۱ : ۶۰۰ با هگزان نرمال رقیق شد. سپس میزان جذب نمونه رقیق شده در طول موج ۲۳۴ نانومتر (برای

اشباع^{۱۳} (SFA)، به خصوص اسید پالmitik، C16:0) بود. میزان اسیدهای چرب اشباع در روغن آفتابگردان ۱۴/۳۳ درصد بدست آمد. میزان اسیدهای چرب تک غیراشباع روغن آفتابگردان ۲۸/۷۶ درصد و اسیدهای چرب چندغیراشباع (که جزو اسیدهای چرب ضروری می‌باشند) آن برابر ۵۵/۳۱ درصد تعیین شد. مقادیر یاد شده در محدوده رایج روغن‌های آفتابگردان قرار داشتند [۲۵ و ۲۶]. با توجه به اثر سلامتی بخش اسیدهای چرب خانواده^{۰۳}، این روغن دارای جایگاه ارزشمندی در میان سایر روغن‌های خوراکی است. نسبت C18:2 به C18:3 و نسبت PUFA به SFA نیز نشان می‌دهد روغن آفتابگردان دارای ارزش تغذیه‌ای فوق العاده‌ای است و طبعاً باید در رژیم غذایی گنجانده شود.

Table 1 The fatty acid composition of sunflower oil.

Fatty acid	Percent (%)
C14:0	0.15 ± 0.05
C16:0	8.94 ± 0.18
C18:0	4.23 ± 0.11
C18:1	28.1 ± 1.96
C18:2	53.12 ± 2.15
C18:3	2.19 ± 1.09
C20:1	0.66 ± 0.04
C22:0	1.01 ± 0.08
Others	1.6 ± 0.05
SFA	14.33 ± 0.06
MUFA	28.76 ± 0.01
PUFA	55.31 ± 1.53
PUFA/SFA	3.86 ± 0.01
C18:2/C18:3	24.25 ± 0.02

۲-۳- قدرت مهارکنندگی رادیکال آزاد DPPH
توانایی آنتی اکسیدان در متوقف کردن مرحله انتشار در فرآیند اکسایش به معنای واکنش سریعتر آن با رادیکال‌های آزاد نسبت به اسیدهای چرب چند غیراشباع است. محلول رادیکال DPPH که دارای رنگ بنفش شدیدی است با افزودن آنتی اکسیدان، احیاء می‌شود و رنگ آن به زرد تغییر پیدا می‌کند. کاهش میزان جذب محلول در طول موج مذکور، معیار اندازه‌گیری توانایی آنتی اکسیدان در اهداء الکترون یا اتم هیدروژن است. میزان

13. Saturated fatty acids

دست آمد. مقدار ترکیبات دی‌ان و تری‌ان مزدوج از فرمول زیر محاسبه شد [۲۲ و ۲۳]:

$$\text{Conjugated value} = \frac{A \times 600 \times 1000}{29000} \quad (۶)$$

= میزان جذب نمونه در طول موج ۲۳۴ نانومتر (برای دی‌ان مزدوج) و ۲۶۸ نانومتر (برای تری‌ان‌مزدوج)، = ۶۰۰ رقت نمونه در هگزان، = ۲۹۰۰۰ ضریب ثابت

۷-۲-۲- تجزیه و تحلیل آماری

کلیه آزمایش‌ها در قالب طرح آزمایشی کاملاً تصادفی در سه تکرار، چهار سطح غلطی (۲۰۰، ۴۰۰، ۸۰۰ و ۱۶۰۰ پی‌پی‌ام) و دو سطح دمایی (۱۱۰ و ۱۲۰ درجه سانتی‌گراد) انجام شد. میانگین‌ها با نرم افزار SPSS و بر اساس آزمون دانکن در سطح ۵ درصد ($P < 0.05$) مقایسه شد. نمودارها با نرم افزار Microsoft Excel ترسیم گردید.

۳- نتایج و بحث

۳-۱- ساختار اسید چرب روغن آفتابگردان

روغن‌های خوراکی مختلف درجه غیراشباعیت و ساختار اسید چرب متفاوتی دارند لذا کیفیت و کمیت ترکیبات غیرتری‌آسیل گلیسرولی آنها با هم تفاوت دارد. تفاوت‌های ساختاری به نوبه خود به ایجاد اختلاف در ویژگی‌های فیزیکوشیمیایی و پایداری اکسایشی آنها منجر می‌شود. برخلاف روغن‌های حیوانی که عمدها اشباع هستند و به راحتی با اکسیژن وارد واکنش نمی‌شوند، روغن‌های گیاهی کمتر اشباع‌اند و حساسیت بیشتری نسبت به واکنش‌های اکسایشی از خود نشان می‌دهند. ساختار اسید چرب روغن تخلیص شده آفتابگردان در جدول ۱ نشان داده شده است. برای تعیین ترکیب اسید چرب، ابتدا تری‌آسیل گلیسرول‌های روغن آفتابگردان به متیل استرهای مربوطه تبدیل و توسط کروماتوگرافی گازی تعیین مقدار شدند. ساختار اسید چرب این روغن عمدها حاوی به ترتیب انواع اسیدهای چندغیراشباع^{۱۱} (PUFA)، عمدها اسیدهای لینوئیک، (C18:2^{۰۳}، C18:1^{۰۹})، تک غیراشباع^{۱۲} (MUFA) به خصوص اسید اولئیک، (C18:1^{۰۹}) و

11. Polyunsaturated fatty acids

12. Monounsaturated fatty acids

حقیقت، قدرت گیرندگی رادیکال آزاد در اسیدهای فنلی به تعداد گروههای هیدروکسیل و متوكسی متصل به حلقه آروماتیک اسید بنزوئیک وابسته است. اسید گالیک با سه گروه هیدروکسیل و یک گروه کربوکسیل، فعالتر از اسید سیرینجیک با یک گروه هیدروکسیل و دو گروه متوكسی می‌باشد [۲۶] (شکل ۱).

۳-۳ شاخص پایداری اکسایشی روغن آفتابگردان حاوی اسید گالیک و اسید سیرینج یک توسط آزمون رنسیمت

بسته به نوع و ماهیت ماده غذایی، آزمون‌ها و روش‌های متفاوتی برای تعیین پایداری به کار گرفته می‌شود. Farhoosh در سال ۲۰۰۷ روش رنسیمت را تکنیکی ارزشمند و سریع برای تعیین پایداری روغن و چربی‌های خوراکی معرفی کرد [۲۰]. لذا اثر افزودن ۲۰۰، ۴۰۰، ۸۰۰ و ۱۶۰۰ پی‌پی‌ام اسید گالیک بر روغن آفتابگردان در دمای ۱۲۰ درجه سانتی‌گراد در شکل ۴ مورد آنالیز قرار گرفت. تمام سطوح غلظتی آنتی‌اسیدان مورد مطالعه به طور معنی‌داری سبب افزایش شاخص پایداری اکسایشی (OSI) روغن آفتابگردان شدند ($P < 0.05$). افزایش سطوح غلظتی اسید گالیک تا ۸۰۰ پی‌پی‌ام سبب افزایش شاخص پایداری اکسایشی از ۱۶۰۰ به ۳۰/۹۴ ساعت شد و پس از آن، افزایش غلظت به ۴/۱۵ پی‌پی‌ام تغییر نامحسوسی در افزایش پایداری اکسایشی (۳۳/۹۵) ساعت داشته است. در حالیکه در اسید سیرینجیک با افزایش غلظت از صفر تا ۱۶۰۰ پی‌پی‌ام از ۳/۶۶ ساعت به ۱۲/۹۴ ساعت رسید. در حقیقت، مهار رادیکال‌های آزاد از جمله شیوه‌های اثر ممانعت‌کننده از پیشرفت واکنش اکسایش، توسط ترکیبات آنتی‌اسیدانی است. همان‌گونه که نتایج آزمون DPPH نشان داد اسید سیرینجیک از قدرت الکترون‌دهنده‌گی بالایی برخوردار نبودند و عدم کارایی آنها در افزایش شاخص پایداری اکسایشی روغن آفتابگردان دور از انتظار نیست. Natella و همکاران (۱۹۹۹) فعالیت آنتی‌اسیدانی اسیدهای پارا‌هیدروکسی بنزوئیک و سیرینجیک را با مشتقان متناظرشان از گروه اسید سینامیک (اسیدهای پارا‌کوماریک و سیناپیک) مقایسه کردند. در این تحقیق، آنها آنتی‌اسیدان را در شرایط آزمایشگاهی به

بازدارنده‌گی اسید گالیک و اسید سیرینجیک در برابر رادیکال‌های آزاد DPPH در شکل ۳ آمده است. نتایج آزمون مهار رادیکال آزاد DPPH نشان داد اسید گالیک از توانایی بیشتری در این خصوص برخوردار است که این مطلب با نتایج تحقیق Lu و همکاران (۲۰۰۶) همخوانی داشت [۱۷]. قدرت مهارکننده‌گی آنتی‌اسیدان‌ها ابتدا با افزایش غلظت به صورت خطی بود و سپس با شبکه‌نموده ادامه پیدا کرد و قدرت مهارکننده‌گی رادیکال آزاد DPPH در سطوح غلظتی مختلف اسید گالیک و اسید سیرینجیک با یکدیگر اختلاف معنی‌داری داشتند ($P < 0.05$) (شکل ۳).

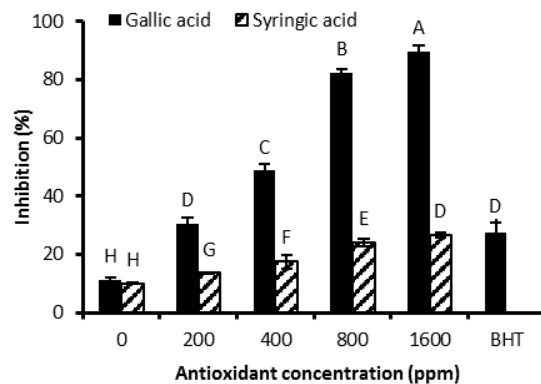


Fig 3 Antioxidant activity of different concentration of gallic acid and syringic acid determination by DPPH assay (The same uppercase letters are not significantly different at $P > 0.05$).

مهار رادیکال‌های آزاد از جمله مکانیسم‌های بسیار رایج آنتی‌اسیدان‌ها و روغن‌های آنتی‌اسیدانی است. در ۱۶۰۰ پی‌پی‌ام، اسید گالیک با توانایی ۸۹/۶۱ درصد در مهار رادیکال‌های آزاد DPPH از اسید سیرینجیک با ۲۶/۶۷ درصد، از قدرت آنتی‌اسیدانی بیشتری برخوردار است. همچنین آنتی‌اسیدان سنتزی BHT در غلظت ۲۰۰ پی‌پی‌ام ۲۷/۳۶ درصد مهارکننده‌گی نشان داد که با اسید گالیک با ۳۰/۵۷ درصد تفاوت معنی‌داری ندارد. در حالیکه، اسید سیرینجیک با ۱۳/۶۴ درصد نسبت به BHT و اسید گالیک توانایی کمتری در مهار رادیکال آزاد DPPH از خود نشان داد. Karamac و همکاران (۲۰۰۵) نیز در مقایسه قدرت گیرندگی رادیکال آزاد DPPH چهارده اسید فنلی، اسید گالیک را حائز بالاترین قدرت آنتی‌اسیدانی معرفی کردند. در

لیپیدی در طول زمان عمدهاً از تابع نمایی تعییت می‌کند [۲۹]. مقادیر دوره القاء و پارامترهای سیستیکی از قبیل میزان پایداری آنتیاکسیدان (F)، نسبت سرعت اکسایش (ORR)، شیب ناحیه اول منحنی اکسایش (W_{inh}) و فعالیت آنتیاکسیدانی (A) با افزودن غلظت‌های مختلف اسید گالیک و اسید سیرینجیک به روغن تخلیص شده آفتابگردان به صورت جداگانه در جدول‌های ۲ و ۳ ارائه شده‌اند. همان‌طور که مشاهده می‌شود، افزودن اسید گالیک و اسید سیرینجیک در دو دما اثر معنی‌داری بر پایداری روغن تخلیص شده آفتابگردان نسبت به نمونه شاهد داشت ($P<0.05$) و فعالیت آنتیاکسیدانی با افزایش غلظت افزایش یافت. همان‌گونه که مشاهده می‌شود، با افزایش غلظت آنتیاکسیدان در هر دما، شاخص‌های AIP و FIP افزایش یافته و مقدار شاخص‌های W_{inh} و ORR کاهش می‌یابند. مسلماً با افزایش غلظت آنتیاکسیدان توانایی آن در مهار رادیکال‌های آزاد افزایش می‌یابد و افزایش شاخص‌های F و A بیانگر همین موضوع می‌باشد. کاهش دو شاخص W_{inh} و ORR را می‌توان با پایداری رادیکال حاصل پس از جدا شدن اتم هیدروژن مرتبط دانست. بررسی فعالیت آنتیاکسیدانی در غلظت‌های مختلف اسید گالیک نشان داد از غلظت ۴۰۰ پی‌پی‌ام به ۸۰۰ پی‌پی‌ام، جهشی بزرگ در قدرت آنتیاکسیدانی ایجاد شد، در حالی که قدرت آنتیاکسیدانی با افزایش غلظت تا ۱۶۰۰ پی‌پی‌ام با روند ملایمتری افزایش پیدا کرد. در حقیقت افزودن ۸۰۰ پی‌پی‌ام اسید گالیک قادر است بخش عظیمی از رادیکال‌های پراکسی را مهار کند و از پیشرفت زنجیره اکسایش به طور چشمگیری جلوگیری نماید. بررسی روند دوره القاء نیز نشان داد ۲۰۰ پی‌پی‌ام اسید گالیک (۲۰/۳۶) ساعت) و ۲۰۰ پی‌پی‌ام BHT (۱۸/۴۲) ساعت) در دماهای ۱۱۰ درجه سانتی‌گراد با یکدیگر اختلاف معنی‌داری ندارند. همچنین با افزایش غلظت اسید سیرینجیک، میزان تاثیرگذاری (F)، قدرت آنتیاکسیدانی و در نتیجه عملکرد آن در پایان دادن به زنجیره خود اکسایش روغن افزایش یافت، به طوری که فعالیت آنتیاکسیدانی در دمای ۱۱۰ درجه سانتی‌گراد از ۲/۸۴ در ۲۰۰ پی‌پی‌ام به ۲۶/۱۱ در ۱۶۰۰ پی‌پی‌ام و در دمای ۱۲۰ درجه سانتی‌گراد از ۲/۶۶ به ۱۶/۱۷ با افزایش غلظت رسید.

لیپو پروتئین با دانسیته^{۱۴} پایین انسان اضافه نموده و مشاهده کردند مشتقات اسید سینامیک از قدرت بیشتری برخوردار بودند [۲۷]. همچنین، Marinova و Yanishlieva [۲۰۰۳] به بررسی فعالیت آنتیاکسیدانی چند اسید فنلی (اسید سیرینجیک، ۴-۳-دی‌هیدروکسی بنزوئیک اسید، اسید سیناپیک و اسید کافئیک) در دماهای مختلف (۲۲ و ۹۰ درجه سانتی‌گراد) پرداختند و پارامترهای اکسایشی را مورد بررسی قرار دادند. نتایج نشان داد که با افزایش غلظت، قدرت آنتیاکسیدانی اسید سیرینجیک در روغن تخلیص شده آفتابگردان افزایش می‌یابد و اسید سیرینجیک و ۴-۳-دی‌هیدروکسی بنزوئیک اسید در هر دو دما عملکرد مشابهی نشان دادند اما اسید سیناپیک و اسید کافئیک در دمای ۹۰ درجه سانتی‌گراد نسبت به دمای اتفاق عملکرد بهتری داشتند [۲۸].

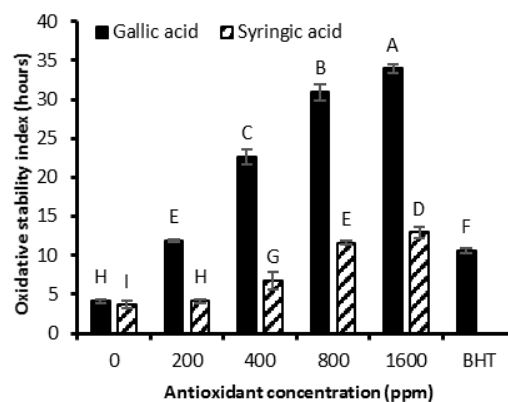


Fig 4 Oxidative stability index (OSI, Rancimat test) of sunflower oil as affected by different concentration of gallic acid and syringic acid and BHT (200 ppm) at 120 °C and airflow rate of 15 l/h (The same uppercase letters are not significantly different at $P>0.05$).

۴-۳- مقایسه قدرت آنتیاکسیدانی اسید گالیک و اسید سیرینجیک در روغن آفتابگردان براساس تغییرات شاخص پراکسید

عدد پراکسید که نماد کمی محصولات اولیه اکسایش لیپیدی است پس از دوره القاء و مرحله انتشار واکنش، روندی کاهشی از خود نشان داد؛ زیرا هیدروپراکسیدها ترکیباتی ناپایدار هستند و به سرعت تجزیه می‌شوند. روند تغییرات محصولات اولیه اکسایش

1. Low-density lipoprotein (LDL)

Table 2 Kinetic parameters characterizing the inhibited lipid oxidation of sunflower oil containing different concentrations of gallic acid and syringic acid at 110 °C.

Antioxidant	Concentration	IP	F ^a	W _{inh} ^b	ORR ^c	A ^d
Control	0	5.39±0.78 ^H		4.41±0.80 ^A		
Gallic acid	200	20.36±2.37 ^{DE}	3.77±0.61 ^D	1.47±0.29 ^D	0.33±0.03 ^C	11.33±1.54 ^F
	400	41.72±3.14 ^C	7.77±0.34 ^C	1.05±0.27 ^E	0.24±0.02 ^D	32.51±4.67 ^C
	800	51.13±1.67 ^B	9.48±0.18 ^B	0.43±0.06 ^G	0.1±0.01 ^F	97.29±6.94 ^B
	1600	63.12±5.14 ^A	11.71±1.02 ^A	0.32±0.01 ^H	0.07±0.00 ^G	161.39±10.67 ^A
Syringic acid	200	7.16±0.31 ^G	1.33±0.04 ^F	2.06±0.37 ^B	0.47±0.04 ^A	2.84±1.28 ^I
	400	12.64±1.03 ^F	2.34±0.28 ^E	1.84±0.28 ^C	0.42±0.02 ^B	5.62±2.34 ^H
	800	21.14±2.07 ^D	3.92±0.87 ^D	1.07±0.16 ^E	0.24±0.05 ^D	16.16±4.67 ^E
	1600	22.98±2.19 ^D	4.26±0.90 ^D	0.72±0.03 ^F	0.16±0.00 ^E	26.11±8.97 ^D
BHT	200	18.42±2.97 ^E	3.14±1.57 ^D	1.67±0.32 ^{CD}	0.38±0.09 ^{BC}	9.02±3.41 ^G

* Means within a column with the same uppercase letters are not significantly different at P>0.05.

^a Stabilization factor

^b Slope of the linear initiation stage of lipid oxidation

^c Oxidative rate ratio

^d Antioxidant activity

Table 3 Kinetic parameters characterizing the inhibited lipid oxidation of sunflower oil containing different concentrations of gallic acid and syringic acid at 120 °C.

Antioxidant	Concentration	IP	F ^a	W _{inh} ^b	ORR ^c	A ^d
Control	0	3.15±0.64 ^G		6.14±0.60 ^A		
Gallic acid	200	10.63±1.21 ^D	3.37±0.51 ^C	2.93±0.17 ^C	0.48±0.02 ^B	7.07±1.54 ^F
	400	20.57±1.75 ^C	6.53±0.28 ^B	1.81±0.14 ^E	0.29±0.01 ^C	22.15±4.67 ^C
	800	28.34±2.52 ^B	9.00±0.61 ^A	0.83±0.08 ^H	0.13±0.01 ^E	66.55±6.94 ^B
	1600	31.17±1.18 ^A	9.89±0.77 ^A	0.41±0.04 ^I	0.1±0.00 ^F	148.18±10.67 ^A
Syringic acid	200	4.87±1.21 ^F	1.54±0.63 ^E	3.57±0.64 ^B	0.58±0.17 ^A	2.66±1.28 ^H
	400	6.41±0.75 ^E	2.03±0.08 ^D	2.39±0.71 ^D	0.39±0.13 ^C	5.23±2.34 ^G
	800	11.2±1.48 ^D	3.55±0.39 ^C	1.94±0.13 ^E	0.31±0.02 ^C	11.25±4.67 ^E
	1600	12.03±3.31 ^D	3.82±1.04 ^C	1.45±0.01 ^F	0.24±0.00 ^D	16.17±8.97 ^D
BHT	200	10.34±1.18 ^D	1.91±0.86 ^E	1.07±0.05 ^G	0.24±0.00 ^D	7.90±1.12 ^F

* Means within a column with the same uppercase letters are not significantly different at P>0.05.

^a Stabilization factor

^b Slope of the linear initiation stage of lipid oxidation

^c Oxidative rate ratio

^d Antioxidant activity

دماه ۱۲۰ درجه سانتي گراد رسيد. در حال يكه قدرت آنتي اكسيدانى اسييد سيرينجيک در همان غلظت از ۲۶/۱۱ به ۱۶/۱۷ رسيد. در واقع اسييد گاليلك از خاصيت حملی ^{۱۵} بهتری نسبت به اسييد سيرينجيک برخوردار بود؛ بدین معنى که اسييد گاليلك در دماهای بالا تبخیر و تخريب نشد و عملکرد بهتری در ممانعت از اكسايش ليپيدي از خود نشان داد. Kikuzaki و همكاران (۲۰۰۲) نيز شاخص پايداري اكسايشى (OSI) در ۹۰ درجه سانتي

همانطور که انتظار مى رفت، سرعت خود اكسايش نمونه های روغن آفتابگردان با بالا رفتن درجه حرارت افزایش يافت. بررسی روند کاهش دوره القاء و قدرت آنتي اكسيدانى اسييد گاليلك و اسييد سيرينجيک نشان مى دهد، در دماهای بالا قدرت آنتي اكسيدانى اسييد سيرينجيک نسبت به اسييد گاليلك کاهش محسوس تری دارد که ناشی از مقاومت حرارتی بيشتر اسييد گاليلك در دماهای بالا می باشد به طوريكه در ۱۶۰۰ پبي بي ام، قدرت آنتي اكسيدانى اسييد گاليلك از ۱۶۱/۳۹ در دماه ۱۱۰ درجه سانتي گراد به ۱۴۸/۱۸ در

15. Carry – through property

درجه سانتی گراد از ۵/۹۷ به ۶۵/۸۲ ساعت و تری ان مزدوج از ۶/۶۴ به ۶/۱۲ ساعت رسید. در حالی که دوره القاء حاصل از دی ان مزدوج اسید سیرینجیک از ۵/۹۷ به ۲۲/۰۲ ساعت و تری ان مزدوج از ۶/۶۴ به ۲۱/۴۳ ساعت رسید. از طرف دیگر، در دمای ۱۲۰ °C با افزایش غلظت آنتی اکسیدانها از صفر تا ۱۶۰۰ پی ام، مقدار دی ان و تری ان مزدوج در نمونه های اسید گالیک به ترتیب در محدوده ۴/۱۹ الی ۴/۱۹ و ۵/۱۵ الی ۳۰/۵۲ و در نمونه های اسید سیرینجیک در محدوده ۴/۱۹ الی ۱۱/۳۵ و ۵/۱۵ الی ۱۱/۶۲ قرار داشت. حضور گروه های متوكسی در موقعیت اورتو نسبت به گروه هیدروکسیل امکان تشکیل پیوند هیدروژنی را افزایش و در نتیجه فعالیت آنتی اکسیدانی اسید سیرینجیک را کاهش می دهد [۳۱]. در نهایت، این دو آنتی اکسیدان از آنتی اکسیدان ستری BHT با دوره القاء ۱۰/۲۷ و ۱۰/۵۵ ساعت به ترتیب حاصل از دی ان و تری ان مزدوج در دمای ۱۱۰ درجه سانتی گراد عملکرد بهتری داشتند.

گراد) ۰/۲ میکرومول متیل گالات در هر گرم متیل لینولئات را ۲۷/۲ ساعت در مقابل ۹/۴ ساعت برای اسید گالیک گزارش نمودند [۳۰].

۳-۵ مقایسه قدرت آنتی اکسیدانی اسید گالیک و اسید سیرینجیک در روغن آفتابگردان براساس

تغییرات دی ان و تری ان مزدوج

نتایج تولید دی ان مزدوج و تری ان مزدوج در روغن آفتابگردان حاوی سطوح غلاظتی صفر تا ۱۶۰۰ پی ام از اسید گالیک و اسید سیرینجیک در دمای ۱۱۰ و ۱۲۰ درجه سانتی گراد در جدول ۴ آورده شده است. با افزایش غلظت هر دو آنتی اکسیدان از صفر تا ۱۶۰۰ پی ام، مقدار دی ان مزدوج و تری ان مزدوج (در هر دو دما) کاهش چشمگیری داشت ($P<0.05$). دوره القاء تولید دی ان و تری ان مزدوج که از منحنی تولید آن طی زمان بدست آمد، نشان داد که دوره القاء حاصل از دی ان مزدوج نمونه های حاوی صفر تا ۱۶۰۰ پی ام اسید گالیک در دمای ۱۱۰

Table 4 The induction period of conjugated diene and triene production in sunflower oil including antioxidants calculated from oxidation curve at 110 °C and 120 °C.

Antioxidant	Concentration	110 °C		120 °C	
		Conjugated diene	Conjugated triene	Conjugated diene	Conjugated triene
Control	0	5.97±0.24 ^F	6.64±0.18 ^I	4.19±1.03 ^H	5.15±0.28 ^F
Gallic acid	200	21.74±1.09 ^D	23.17±0.71 ^D	9.26±0.74 ^E	11.32±1.02 ^D
	400	41.71±6.57 ^C	40.28±5.29 ^C	22.14±3.63 ^C	19.27±2.10 ^C
	800	52.18±2.98 ^B	49.24±7.81 ^B	27.13±4.63 ^B	22.15±3.18 ^B
	1600	65.82±4.67 ^A	68.12±10.4 ^A	29.43±0.72 ^A	30.52±7.24 ^A
	200	6.42±1.03 ^F	9.03±0.44 ^H	5.03±0.39 ^G	3.75±0.07 ^G
Syringic acid	200	11.67±1.47 ^E	11.21±3.12 ^F	6.89±2.16 ^F	5.61±0.86 ^F
	400	21.31±2.09 ^D	25.77±6.18 ^D	10.21±1.05 ^D	9.03±1.36 ^E
	800	22.02±2.68 ^D	21.43±5.29 ^E	11.35±1.24 ^D	11.62±2.19 ^D
	1600	10.27±1.69 ^E	10.55±0.17 ^G	5.69±0.23 ^G	5.9±1.43 ^F

* Means within a column with the same uppercase letters are not significantly different at $P>0.05$.

زنجبیرهای اکسایش روغن ها می گردد [۳۲]. Rice-Evans و همکاران (۱۹۹۶) در بررسی فعالیت آنتی اکسیدانی هیدروکسی تیروزول^{۱۶}، الكل پروتوكاتچوویل^{۱۷} و الكل گالوویل^{۱۸} در روغن زیتون به وضوح نشان دادند الكل گالوویل بیشترین قدرت آنتی رادیکالی و بیشترین افزایش را در دوره القاء روغن زیتون پدید

نتایج محققان پیشین نیز قدرت آنتی اکسیدانی اسیدهای فنلی و مشتقهای آنها را با ساخته مان مولکولی و به خصوص نوع، تعداد و محل گروه های هیدروکسیل و متوكسی روی حلقه آروماتیک مرتبط دانسته اند. حضور گروه های دهنده الکترون روی حلقة فنلی، انرژی لازم برای جدا شدن اتم هیدروژن را کاهش می دهند و در نتیجه قرار گیری اتم هیدروژن در اختیار رادیکال پراکسی آسانتر می شود و این امر موجب کاهش سرعت واکنش های

16. Hydroxytyrosol
17. Protocatechual alcohol
18. Galloyl alcohol

تمایل رادیکال حاصل از آنتیاکسیدان (پس از جدا شدن اتم هیدروژن) به شرکت در واکنش‌های زنجیره‌ای اکسایش لبیدی یکی از دلایل عملکرد بالای آنتیاکسیدان در محیط اکسایشی است. این خصوصیت در مورد اسید گالیک صدق می‌کند؛ رادیکال‌های اسید گالیک انرژی پائینی دارند، لذا به اسیدهای چرب غیراشباع حمله نکرده و اکسایش را گسترش نمی‌دهند. عامل دیگری که در بیان علت عملکرد خوب اسید گالیک در سامانه روغنی نسبت به مشتق‌ات اسیدهای فنلی به خصوص اسید سیرینجیک می‌توان ذکر کرد، قابلیت بالای اسید گالیک در مهار رادیکال سوپراکسید است.

۴- نتیجه گیری

در پژوهش حاضر، پایداری اکسایشی اسید گالیک و اسید سیرینجیک در چهار سطح غلظتی (۲۰۰، ۴۰۰، ۸۰۰ و ۱۶۰۰ پی‌پی‌ام) در روغن تخلیص شده آفتابگردان در دو دمای ۱۱۰ و ۱۲۰ درجه سانتیگراد مورد مطالعه قرار گرفت. نتایج این پژوهش نشان داد، ساختار اسید چرب این روغن عمدتاً از اسید لینولیک به میزان ۵۳/۱۲ درصد و اسید پالمتیک به میزان ۸/۹۴ درصد تشکیل شده بود. اسید گالیک و اسید سیرینجیک توانایی خوبی در افزایش پایداری اکسایشی روغن آفتابگردان داشتند. در مجموع، اسید گالیک عملکرد بهتری در ممانعت از اکسایش لبیدی در روغن از خود نشان داد و این اثر به خصوص در دماهای بالا (۱۲۰ درجه سانتیگراد) به دلیل خاصیت حملی بالاتر مشهودتر بود. بنابراین رفتار آنتیاکسیدان در روغن به عوامل مختلفی از جمله قطبیت و خاصیت ذاتی خود آنتی اکسیدان، محیط لبیدی، غلظت آنتیاکسیدان، دما و شرایط محیطی وابسته است و با مطالعات سیتیکی فرآیند اکسایش در روغن آفتابگردان و اثر آنتیاکسیدان‌ها در به تاخیر اندختن این فرآیند و بررسی پایداری اکسایشی سیستم‌های لبیدی حاوی آنتیاکسیدان‌های مختلف طبیعی ضمن حذف آنتیاکسیدان سنتزی، می‌توان رفتار روغن در حضور آنتیاکسیدان‌های طبیعی را پیشگویی و تحلیل کرد.

آورده. بر طبق مشاهدات آنها وجود سومین گروه هیدروکسیل روی حلقه فنلی ترکیبات آنتیاکسیدانی، قدرت مهار رادیکال و فعالیت آنتیاکسیدانی آن را افزایش می‌دهد [۳۳]. در همین راستا محققین نشان دادند اسیدهای فنلی دارای یک عامل هیدروکسیل نسبت به اسیدهای دارای چند عامل هیدروکسیل از نظر قدرت آنتیاکسیدانی در رده پایین تری قرار دارند [۳۴-۳۵].

براساس داده‌های حاصل از دوره القاء، تولید هیدروپراکسیدها و دی‌ان مزدوج طی اکسایش روغن تخلیص شده آفتابگردان همبستگی خوبی نشان می‌دهند (شکل ۵). این یافته با نتایج حاصل از Peri و Saguy (۲۰۱۵) در ارزیابی اکسایشی روغن‌ها همخوانی دارد [۳۶]، این نتایج نشان می‌دهد که می‌توان اکسایش روغن آفتابگردان را در حضور غلظت‌های مختلف از اسیدهای فنلی از طریق روش فیزیکی دی‌ان مزدوج نسبت به روش شیمیابی عدد پراکسید مورد پایش قرار داد که به مراتب از سرعت، دقت و سهولت بیشتری برخوردار است و نیاز به مواد شیمیابی چندانی ندارد.

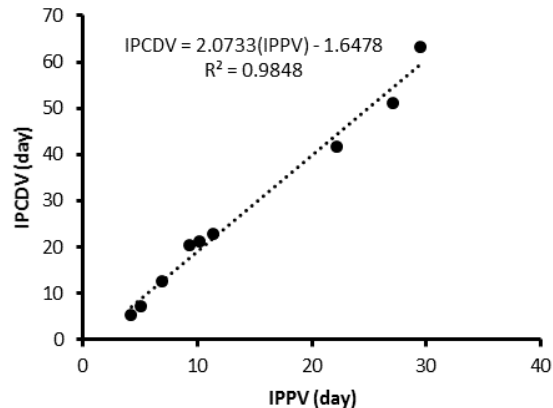


Fig 5 Correlation between the induction periods of the formation of hydroperoxides (IP_{PV}) and conjugated dienes (IP_{CDV}) during the storage of sunflower oil samples at 110°C

لذا در نهایت بیشترین مقدار شاخص‌های اکسایشی شامل دوره القاء و قدرت آنتیاکسیدانی حاصل از عدد پراکسید و دی‌ان و غلظت آن مزدوج در دو دمای ۱۱۰ و ۱۲۰ درجه سانتیگراد در غلظت ۱۶۰۰ پی‌پی‌ام اسید گالیک مشاهده شد (جدول ۲، ۳ و ۴). این بدان معنی است که اسید گالیک نسبت به سایرین، بهترین عملکرد را در روغن آفتابگردان داشته است. انرژی پایین و عدم

- Measurement and Characterization*, 9(2), pp.215-224.
- [9] Shahidi, F. 2005. Bailey's Industrial Oil and Fat Products. A John Wiley & Sons, Inc., Publication.
- [10] Garrido, J., Gaspar, A., Garrido, E.M., Miri, R., Tavakkoli, M., Pourali, S., Sas, L., Borges, F. and Firuzi, O., 2012. Alkyl esters of hydroxycinnamic acids with improved antioxidant activity and lipophilicity protect PC12 cells against oxidative stress. *Biochimie*, 94(4), pp.961-967.
- [11] Lodovici, M., Guglielmi, F., Meoni, M. and Dolara, P., 2001. Effect of natural phenolic acids on DNA oxidation in vitro. *Food and Chemical Toxicology*, 39(12), pp.1205-1210.
- [12] Bountagkidou, O.G., Ordoudi, S.A. and Tsimidou, M.Z., 2010. Structure–antioxidant activity relationship study of natural hydroxybenzaldehydes using in vitro assays. *Food research international*, 43(8), pp.2014-2019.
- [13] Tokmak, M., Yuksel, Y., Sehitoglu, M.H., Guven, M., Akman, T., Aras, A.B., Cosar, M. and Abbed, K.M., 2015. The neuroprotective effect of syringic acid on spinal cord ischemia/reperfusion injury in rats. *Inflammation*, 38(5), pp.1969-1978.
- [14] Orabi, K.Y., Abaza, M.S., El Sayed, K.A., Elnagar, A.Y., Al-Attiyah, R. and Guleri, R.P., 2013. Selective growth inhibition of human malignant melanoma cells by syringic acid-derived proteasome inhibitors. *Cancer cell international*, 13(1), p.82.
- [15] Tong, L.M., Sasaki, S., McClements, D.J. and Decker, E.A., 2000. Mechanisms of the antioxidant activity of a high molecular weight fraction of whey. *Journal of Agricultural and Food Chemistry*, 48(5), pp.1473-1478.
- [16] Niho, N., Shibusawa, M., Tamura, T., Toyoda, K., Uneyama, C., Takahashi, N. and Hirose, M., 2001. Subchronic toxicity study of gallic acid by oral administration in F344 rats. *Food and Chemical Toxicology*, 39(11), pp.1063-1070.
- [17] Lu, Z., Nie, G., Belton, P.S., Tang, H. and Zhao, B., 2006. Structure–activity relationship analysis of antioxidant ability and neuroprotective effect of gallic acid derivatives. *Neurochemistry international*, 48(4), pp.263-274.

۵- تشکر و قدردانی

نویسندها این مقاله بر خود لازم می‌دانند از دانشگاه علوم کشاورزی و منابع طبیعی ساری به دلیل پشتیبانی مالی از این پژوهش در قالب طرح تحقیقاتی مصوب با شماره طرح ۰۵-۱۳۹۶-۰۲-۰۲ و همچنین از تمام افرادی که ما را در انجام این طرح پژوهشی یاری نمودند، تشکر و قدردانی به عمل آورند.

۶- منابع

- [1] Farahmandfar, R., Shokoh Saremi, E., Shahiri Tabarestani, H., Azizkhani, M. 2014. Fundamental comprehensive microbiology of food technology, Sahra press, Iran.
- [2] Asnaashari, M., Farhoosh, R. and Sharif, A., 2014. Antioxidant activity of gallic acid and methyl gallate in triacylglycerols of Kilka fish oil and its oil-in-water emulsion. *Food chemistry*, 159, pp.439-444.
- [3] López-Alarcón, C. and Denicola, A., 2013. Evaluating the antioxidant capacity of natural products: A review on chemical and cellular-based assays. *Analytica chimica acta*, 763, pp.1-10.
- [4] Krings, U., El-Saharty, Y.S., El-Zeany, B.A., Pabel, B. and Berger, R.G., 2000. Antioxidant activity of extracts from roasted wheat germ. *Food Chemistry*, 71(1), pp.91-95.
- [5] Suja, K.P., Abraham, J.T., Thamizh, S.N., Jayalekshmy, A. and Arumughan, C., 2004. Antioxidant efficacy of sesame cake extract in vegetable oil protection. *Food Chemistry*, 84(3), pp.393-400.
- [6] Johnson, D.R. and Decker, E.A., 2015. The role of oxygen in lipid oxidation reactions: a review. *Annual review of food science and technology*, 6, pp.171-190.
- [7] Iqbal, S. and Bhanger, M.I., 2007. Stabilization of sunflower oil by garlic extract during accelerated storage. *Food Chemistry*, 100(1), pp.246-254.
- [8] Asnaashari, E., Asnaashari, M., Ehtiati, A. and Farahmandfar, R., 2015. Comparison of adaptive neuro-fuzzy inference system and artificial neural networks (MLP and RBF) for estimation of oxidation parameters of soybean oil added with curcumin. *Journal of Food*

- derivatives as antioxidants: Structure–activity relation. *Journal of agricultural and food chemistry*, 47(4), pp.1453-1459.
- [28] Marinova, E.M. and Yanishlieva, N.V., 2003. Antioxidant activity and mechanism of action of some phenolic acids at ambient and high temperatures. *Food Chemistry*, 81(2), pp.189-197.
- [29] Farhoosh, R. and Hoseini-Yazdi, S.Z., 2013. Shelf-life prediction of olive oils using empirical models developed at low and high temperatures. *Food Chemistry*, 141(1), pp.557-565.
- [30] Kikuzaki, H., Hisamoto, M., Hirose, K., Akiyama, K. and Taniguchi, H., 2002. Antioxidant properties of ferulic acid and its related compounds. *Journal of Agricultural and Food Chemistry*, 50(7), pp.2161-2168.
- [31] Farhoosh, R., Johnny, S., Asnaashari, M., Molaahmadibahraseman, N. and Sharif, A., 2016a. Structure–antioxidant activity relationships of o-hydroxyl, o-methoxy, and alkyl ester derivatives of p-hydroxybenzoic acid. *Food chemistry*, 194, pp.128-134.
- [32] Farhoosh, R., Sharif, A., Asnaashari, M., Johnny, S. and Molaahmadibahraseman, N., 2016b. Temperature-dependent mechanism of antioxidant activity of o-hydroxyl, o-methoxy, and alkyl ester derivatives of p-hydroxybenzoic acid in fish oil. *Journal of the American Oil Chemists' Society*, 93(4), pp.555-567.
- [33] Rice-Evans, C.A., Miller, N.J. and Paganga, G., 1996. Structure-antioxidant activity relationships of flavonoids and phenolic acids. *Free radical biology and medicine*, 20(7), pp.933-956.
- [34] Heleno, S.A., Martins, A., Queiroz, M.J.R. and Ferreira, I.C., 2015. Bioactivity of phenolic acids: Metabolites versus parent compounds: A review. *Food chemistry*, 173, pp.501-513.
- [35] Shahidi, F. and Ambigaipalan, P., 2015. Phenolics and polyphenolics in foods, beverages and spices: Antioxidant activity and health effects—A review. *Journal of functional foods*, 18, pp.820-897.
- [36] Peri, I. and Saguy, I.S., 2015. Continuous injection of water and antioxidants possible roles on oil quality during frying. *LWT-Food Science and Technology*, 64(2), pp.919-925.
- [18] Belhaj, N., Arab-Tehrany, E. and Linder, M., 2010. Oxidative kinetics of salmon oil in bulk and in nanoemulsion stabilized by marine lecithin. *Process Biochemistry*, 45(2), pp.187-195.
- [19] Lima, C.F., Fernandes-Ferreira, M. and Pereira-Wilson, C., 2006. Phenolic compounds protect HepG2 cells from oxidative damage: relevance of glutathione levels. *Life sciences*, 79(21), pp.2056-2068.
- [20] Farhoosh, R., 2007. The effect of operational parameters of the Rancimat method on the determination of the oxidative stability measures and shelf-life prediction of soybean oil. *Journal of the American Oil Chemists' Society*, 84(3), pp.205-209.
- [21] Farahmandfar, R., Asnaashari, M. and Sayyad, R., 2015. Comparison antioxidant activity of Tarom Mahali rice bran extracted from different extraction methods and its effect on canola oil stabilization. *Journal of food science and technology*, 52(10), pp.6385-6394.
- [22] González, M.J., Medina, I., Maldonado, O.S., Lucas, R. and Morales, J.C., 2015. Antioxidant activity of alkyl gallates and glycosyl alkyl gallates in fish oil in water emulsions: Relevance of their surface active properties and of the type of emulsifier. *Food chemistry*, 183, pp.190-196.
- [23] Saguy, I.S., Shani, A., Weinberg, P. and Garti, N., 1996. Utilization of jojoba oil for deep-fat frying of foods. *LWT-Food Science and Technology*, 29(5-6), pp.573-577.
- [24] Dubois, V., Breton, S., Linder, M., Fanni, J. and Parmentier, M., 2007. Fatty acid profiles of 80 vegetable oils with regard to their nutritional potential. *European Journal of Lipid Science and Technology*, 109(7), pp.710-732.
- [25] Ramos, M.J., Fernández, C.M., Casas, A., Rodríguez, L. and Pérez, Á., 2009. Influence of fatty acid composition of raw materials on biodiesel properties. *Bioresource technology*, 100(1), pp.261-268.
- [26] Karamac, M., Kosińska, A. and Pegg, R.B., 2005. Comparison of radical-scavenging activities for selected phenolic acids. *Polish Journal of Food and Nutrition Sciences*, 14(2), pp.165-170.
- [27] Natella, F., Nardini, M., Di Felice, M. and Scaccini, C., 1999. Benzoic and cinnamic acid

Assessment of antioxidant activity and kinetic oxidative parameters of syringic acid and gallic acid in sunflower oil

Farahmandfar, R. ^{1*}, Asnaashari, M. ²

1. Assistant Professor, Department of Food Science and Technology, Sari Agricultural Sciences and Natural Resources University (SANRU), Iran
2. PhD Student, Department of Food Science and Technology, Sari Agricultural Sciences and Natural Resources University (SANRU), Iran

(Received: 2017/11/29 Accepted:2018/04/21)

The performance of antioxidants depends on different factors, including chemical structure, interaction with oxidative environment, hydrophobicity and thermal conditions of the oil, and due to behavioral complexities, their results are unpredictable in oil systems. Therefore, gallic acid and syringic acid antioxidant activity were evaluated by DPPH assay, its oxidative stability by Rancimat and fatty acids profile of sunflower oil using GC-MS. In oven test, sunflower oil without antioxidants was monitored in presence of four levels of syringic acid and gallic acid (200, 400, 800 and 1600 ppm) at 110 and 120 °C. Sampling was carried out at continuous time intervals and the induction period of hydroperoxides, conjugated dienes and trienes formation was determined. The results showed the fatty acid structure of sunflower oil consisted mainly of unsaturated fatty acids (especially linoleic acid, C18:2 ω3) and saturation ones (especially palmitic acid, C16:0), respectively. The results of oxidative parameters showed that both antioxidants increased the stability of sunflower oil compared to the control sample, and the antioxidant activity of gallic acid was significantly higher in both temperatures than syringic acid and synthetic antioxidant, BHT. Also, with increasing temperature, the stabilization factor (F) and antioxidant activity (A) of gallic acid in the most treatments had significantly lower reduction than that of syringic acid, which is due to the higher carry-through property of gallic acid. In general, gallic acid and syringic acid have high potential for enhancing the oxidative stability of edible oils and can be used as a substitute for synthetic antioxidants.

Keywords: Gallic acid, Syringic acid, Kinetic oxidative parameters, Sunflower oil, Antioxidant activity

* Corresponding Author E-Mail Address: r.farahmandfar@sanru.ac.ir